

## 2段階スキームの振動方程式への応用

ここでは、真の解の位相に対する数値解の位相の比を調べる。

### 2段階スキームの安定性

$U^{n+1}$  を求めるのに  $U^n, U^{n-1}$  を用いて求める 2段階スキームの安定性を求める。

#### リープフロッグスキーム (leapfrog scheme)

振動方程式に対してリープフロッグスキームをあてはめた差分式は

$$U^{n+1} = U^{n-1} + 2i\omega\Delta t U^n. \quad (1)$$

2段階スキームを用いた場合初期値が  $U^0, U^1$  の 2つ必要になる。ここで  $U^0$  は物理的な初期値,  $U^1$  は  $U^0$  から何らかの方法で計算し求めた初期値である。

増幅係数  $\lambda$  を計算すると

$$U^n = \lambda U^{n-1}. \quad (2)$$

$U^n = \frac{U^{n+1}}{\lambda}$  なので

$$\frac{U^{n+1}}{\lambda} = \lambda U^{n-1}, \quad (3)$$

$$U^{n+1} = \lambda^2 U^{n-1}. \quad (4)$$

これを (1) 式に代入すると

$$\lambda^2 U^{n-1} = U^{n-1} + 2i\omega\Delta t \lambda U^{n-1}. \quad (5)$$

両辺を  $U^{n-1}$  で割ると

$$\lambda^2 - 2i\omega\Delta t \lambda - 1 = 0. \quad (6)$$

これを解くと

$$\lambda = ip \pm \sqrt{1 - p^2}. \quad (7)$$

よって,  $\lambda$  の解は 2 つ存在する. 一般に  $m$  段階スキームには  $m$  個の増幅係数が現れる. それぞれの  $\lambda$  に対する数値解をモード (mode) と呼ぶ.

リープフロッグスキームの場合 (7) 式は,

$$\lambda_p = \sqrt{1 - p^2} + ip, \quad (8)$$

$$\lambda_c = -\sqrt{1 - p^2} + ip \quad (9)$$

の 2 つの解になる. それぞれの  $|\lambda|$  を考えると,

$$|\lambda_p| = (\sqrt{1 - p^2} + ip)(\sqrt{1 - p^2} - ip) = 1, \quad (10)$$

$$|\lambda_c| = (-\sqrt{1 - p^2} + ip)(-\sqrt{1 - p^2} - ip) = 1 \quad (11)$$

となる. よって, リープフロッグスキームの二つの増幅係数はどちらも安定である. また, 2 段階スキームにおける真の解と数値解の位相比は, 1 段階スキームの場合と同様に,

$$\frac{\theta}{p} = \frac{1}{p} \arctan \frac{\lambda_i}{\lambda_r} \quad (12)$$

である.  $\lambda_p$  の場合は

$$\frac{\theta}{p} = \frac{1}{p} \arctan \frac{p}{(1 - p^2)^{\frac{1}{2}}} \quad (13)$$

$$= \frac{1}{p} \arctan \left\{ p \left( 1 + \frac{p^2}{2} + \frac{p^4}{4} + \dots \right) \right\}. \quad (14)$$

よって, ホインスキームと同じ形になるので, 解析解と比べて早く進むことが分かる. また,  $\lambda_c$  の場合は

$$\frac{\theta}{p} = \frac{1}{p} \arctan \left\{ -\frac{p}{(1 - p^2)^{\frac{1}{2}}} \right\} \quad (15)$$

$$= \frac{1}{p} \arctan \left\{ -p \left( 1 + \frac{p^2}{2} + \frac{p^4}{4} + \dots \right) \right\}. \quad (16)$$

よって, 真の解よりも遅く進む.

## 物理モードと計算モード

リープフロッグスキームの増幅係数は (7) 式より

$$\lambda_p = \sqrt{1 - p^2} + ip, \quad (17)$$

$$\lambda_c = -\sqrt{1 - p^2} + ip \quad (18)$$

の2つの解である。ここで  $\Delta t \rightarrow 0$  の極限を考えると  $\lambda_p$  のときは  $\lambda_p \rightarrow 1$  で  $U^{n+1} = U^n$ ,  $\lambda_c$  のときは  $\lambda_c \rightarrow -1$  で  $U^{n+1} = -U^n$  となり,  $\lambda_c$  のときには反転してしまう。そこで  $\lambda_p$  に対応する数値解を物理モード (physical modes).  $\lambda_c$  に対応する数値解を計算モード (computational modes) と呼ぶことにする。実際の計算で得られる数値解は、これらのモードの重ね合わせになる。

重ね合わせを考える前に極端な例として  $\omega = 0$  の場合を考える。そのとき

$$\frac{dU}{dt} = 0. \quad (19)$$

(1) 式は

$$U^{n+1} = U^{n-1} \quad (20)$$

となる。これは  $U^1$  の与え方によって解の振舞いが変わる。

$U^1$  が  $U^1 = U^0$  と与えられた場合

$$U^{n+1} = U^n. \quad (21)$$

これは  $p \rightarrow 0$  の極限の  $\lambda_p$  のモードに対応するので

$$U^{n+1} = \lambda_p U^n. \quad (22)$$

この場合、解は物理モードのみから構成される。

$U^1$  が  $U^1 = -U^0$  として与えられた場合

$$U^{n+1} = -U^n. \quad (23)$$

これは  $p \rightarrow 0$  の極限での  $\lambda_c$  のモードに対応するので

$$U^{n+1} = \lambda_c U^n. \quad (24)$$

この解は計算モードのみから構成される。

次に  $\omega \neq 0$  の一般の場合を考える。その場合数値解は

$$U_p^n = \lambda_p^n U_p^0, \quad (25)$$

$$U_c^n = \lambda_c^n U_c^0 \quad (26)$$

の重ね合わせで表される。よって,  $a, b$  を定数とすると

$$U^n = a\lambda_p^n U_p^0 + b\lambda_c^n U_c^0. \quad (27)$$

$U^0$  と  $U^1$  を (27) 式を用いて表すと

$$U^0 = aU_p^0 + bU_c^0, \quad (28)$$

$$U^1 = a\lambda_p U_p^0 + b\lambda_c U_c^0. \quad (29)$$

これを  $aU_p^0$  と  $bU_c^0$  の連立方程式と考えて解くと

$$aU_p^0 = \frac{\lambda_c U^0 - U^1}{\lambda_c - \lambda_p}, \quad (30)$$

$$bU_c^0 = \frac{\lambda_p U^0 - U^1}{\lambda_p - \lambda_c}. \quad (31)$$

これを (27) 式に代入すると

$$\begin{aligned} U^n &= \lambda_p^n \frac{\lambda_c U^0 - U^1}{\lambda_c - \lambda_p} + \lambda_c^n \frac{\lambda_p U^0 - U^1}{\lambda_p - \lambda_c} \\ &= \frac{1}{\lambda_p - \lambda_c} \{ \lambda_p^n (U^1 - \lambda_c U^0) - \lambda_c^n (U^1 - \lambda_p U^0) \}. \end{aligned} \quad (32)$$

よって、物理モードの振幅は  $|U^1 - \lambda_c U^0|$  に、計算モードの振幅は  $|U^1 - \lambda_p U^0|$  に比例することが分かる。 (32) 式は  $U^1 = \lambda_p U^0$  のとき

$$U^n = \frac{1}{\lambda_p - \lambda_c} \lambda_p^n (\lambda_p - \lambda_c) U^0 \quad (33)$$

$$= \lambda_p^n U^0. \quad (34)$$

一方、 $U^1 = \lambda_c U^0$  のとき

$$U^n = \frac{1}{\lambda_p - \lambda_c} \lambda_c^n (\lambda_p - \lambda_c) U^0 \quad (35)$$

$$= \lambda_c^n U^0. \quad (36)$$

となり、どちらも  $\omega = 0$  の場合に対応する。

$U^1$  は  $\lambda_p$  から求めることができるが必ずしも計算モードを除去できるわけではない。また複雑な式になると解析的に物理モードを求めることができなくなる。そこで、 $U^1$  は 1 段階スキームから求める。仮に、物理モード  $\lambda_p$  を厳密にしきくことができても  $U^n$  は差分式の厳密解にはなりえない。これは計算機によって丸め誤差があるためである。よって、数値モードを完全に除去することは現実的には難しい。しかしながら、丸め誤差の影響は些細なものなので、あまり神経質になる必要はない<sup>1)</sup>。

## リープフロッグスキームの安定性と位相

リープフロッグスキームの場合、2 つの増幅係数  $\lambda_1$  と  $\lambda_2$  が存在する。 (27) 式より振動方程式にリープフロッグスキームを当てはめた差分式は、

$$U^n = a\lambda_1^n U_1^0 + b\lambda_2^n U_2^0. \quad (37)$$

<sup>1)</sup>Mesinger and Arakawa(1976) では丸め誤差は「a little important」であると述べられている。

したがって、安定性条件は、

$$\begin{aligned} |\lambda_1| &< 1, \\ |\lambda_2| &< 1 \end{aligned} \quad (38)$$

である。以下では安定性条件を詳しくみるために、3つの特別な場合について考える。

**Case1.  $|p| < 1$  のとき**

2段階スキームの安定性より、 $1 - p^2 > 0$  のときは

$$\begin{aligned} |\lambda_1| &= \sqrt{\lambda_1 \lambda_1^*} = 1, \\ |\lambda_2| &= \sqrt{\lambda_2 \lambda_2^*} = 1. \end{aligned} \quad (39)$$

よって、 $|p| < 1$  のとき、安定性は中立となる。位相については、

$$\theta = \arctan\left(\frac{\lambda_i}{\lambda_r}\right) \quad (40)$$

より、物理モードの位相を  $\theta_1$ 、計算モードの位相を  $\theta_2$  とすると、

$$\begin{aligned} \theta_1 &= \arctan\left(\frac{p}{\sqrt{1-p^2}}\right), \\ \theta_2 &= \arctan\left(-\frac{p}{\sqrt{1-p^2}}\right). \end{aligned} \quad (41)$$

$p \rightarrow 0$  の時の位相の振る舞いについて考える。右極限  $p \rightarrow +0$  を考えると

$$\begin{aligned} \tan \theta_1 &= \frac{p}{\sqrt{1-p^2}} > 0, \\ \tan \theta_2 &= -\frac{p}{\sqrt{1-p^2}} < 0. \end{aligned} \quad (42)$$

ゆえに、

$$\begin{aligned} 0 < \theta_1 &< \frac{\pi}{2}, \\ \frac{\pi}{2} < \theta_2 &< \pi. \end{aligned} \quad (43)$$

図 1<sup>2)</sup>より、

$$\theta_2 = \pi - \theta_1. \quad (44)$$

<sup>2)</sup>  $\arctan$  の本来の値域は  $-\pi/2 \rightarrow \pi/2$  であるが、それを拡張しているがゆえに、 $\arctan$  が多値関数のようになっているため、 $\theta_1, \theta_2$  のどちらが物理モードか計算モードかの結論はいかようにもつけられそうになっている。

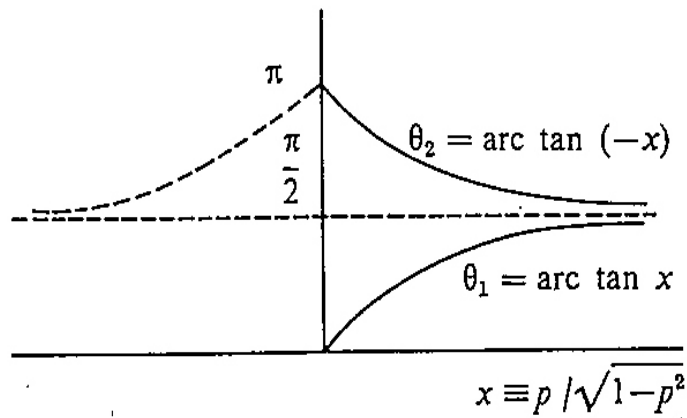


図 1: リープフロッグスキームにおける物理モードと計算モードの位相の振る舞い (Mesinger and Arakawa (1976) より引用). 縦軸は位相, 横軸は  $x = p / \sqrt{1 - p^2}$  である.

特に,  $p \rightarrow 0$  のとき,  $\theta_1 \rightarrow p$ ,  $\theta_2 \rightarrow \pi - p$  である.  $p = \omega \Delta t$  であるから,  $\Delta t \rightarrow 0$  のとき物理モードの位相は真の解の位相に近づくことがわかる. 一方, 計算モードの位相は  $\pi$  ずれてしまう. 同様に  $p < 0$  で左極限  $p \rightarrow -0$  を考えると,

$$\begin{aligned} -\frac{\pi}{2} &< \theta_1 < 0, \\ -\pi &< \theta_2 < -\frac{\pi}{2} \end{aligned} \tag{45}$$

であるから,

$$\theta_2 = -\pi - \theta_1. \tag{46}$$

結局,  $p \geq 0$  をまとめて表すと,

$$\theta_2 = \pm \pi - \theta_1 \quad (\text{複号同順}) \tag{47}$$

となる.

物理モードの位相  $\theta_1$  の振る舞いは次の通りである.  $p \ll 1$  のとき,

$$\begin{aligned}\theta_1 &= \arctan \left( \frac{p}{\sqrt{1-p^2}} \right) \\ &\sim \arctan \left\{ p \left( 1 + \frac{1}{2!} p^2 + 9 \frac{1}{4!} p^4 + \dots \right) \right\} \\ &\sim \left( p + \frac{1}{2} p^3 \right) - \frac{(p + \frac{1}{2} p^3)^3}{3} + \dots \\ &\sim p + \frac{p^3}{6} + \dots.\end{aligned}\tag{48}$$

ゆえに,

$$\frac{\theta_1}{p} \sim 1 + \frac{p^2}{6} > 1.\tag{49}$$

リープログスキームの物理モードの位相は真の解よりも早く進む. 但し, 松野スキームよりは遅い.

次に,  $\theta_1$  の微分を考える<sup>3)</sup>.

$$\begin{aligned}\frac{d\theta_1}{dp} &= \left( \frac{1}{1 + \left( \frac{p}{\sqrt{1-p^2}} \right)^2} \right) \left( \frac{1}{\sqrt{1-p^2}} + \frac{p^2}{\sqrt{1-p^2}(1-p^2)} \right) \\ &= (1-p^2) \left( \frac{1}{\sqrt{1-p^2}(1-p^2)} \right) \\ &= \frac{1}{\sqrt{1-p^2}}.\end{aligned}\tag{50}$$

$\frac{d\theta_1}{dp} > 0$ ,  $p \rightarrow 1$  のとき,  $\theta_1 \rightarrow \frac{\pi}{2}$ . さらに  $p \gtrless 0$  のとき 式(47) より,

$$\begin{aligned}U_1^n &= U_1^0 e^{in\theta_1}, \\ U_2^n &= U_2^0 e^{in(\pm\pi-\theta_1)}.\end{aligned}\tag{51}$$

<sup>3)</sup>  $\arctan x$  の微分を考える.  $y = \arctan x$  とすると,  $x = \tan y$  と書きかえることができる. よって,

$$\begin{aligned}\frac{dy}{dx} &= \frac{1}{\frac{dx}{dy}} \\ &= \frac{1}{\frac{1}{\cos^2 y}} \\ &= \frac{1}{1 + \tan^2 y} \\ &= \frac{1}{1 + x^2}.\end{aligned}$$

簡単のために  $\theta_1 = \frac{\pi}{8}$  の場合を考える。さらに、初期において  $\text{Im}(U_1^0) = 0, \text{Im}(U_2^0) = 0$  とする。このとき、物理モード  $U_1^n$  の位相は反時計回りに  $\frac{\pi}{8}$  ずつずれる。計算モード ( $p > 0$ ) の位相は  $\theta_2 = \pi - \theta_1$  なので反時計回りに  $\frac{7\pi}{8}$  ずつずれる。これらを実部と虚部に分けると、 $U_1$  は

$$U_1^n = U_1^0(\cos n\theta_1 + i \sin n\theta_1). \quad (52)$$

よって、

$$\begin{aligned} \text{Re}[U_1^n] &= U_1^0 \cos n\theta_1, \\ \text{Im}[U_1^n] &= U_1^0 \sin n\theta_1. \end{aligned} \quad (53)$$

$U_2$  は

$$\begin{aligned} U_2^n &= U_2^0 e^{in(\pi - \theta_1)} \\ &= U_2^0 e^{in\pi} e^{-in\theta_1} \\ &= (-1)^n U_2^0 (\cos n\theta_1 - i \sin n\theta_1). \end{aligned} \quad (54)$$

よって、

$$\begin{aligned} \text{Re}[U_2^n] &= (-1)^n U_2^0 \cos n\theta_1, \\ \text{Im}[U_2^n] &= (-1)^{n+1} U_2^0 \sin n\theta_1. \end{aligned} \quad (55)$$

これらを図示すると図2の様になる。

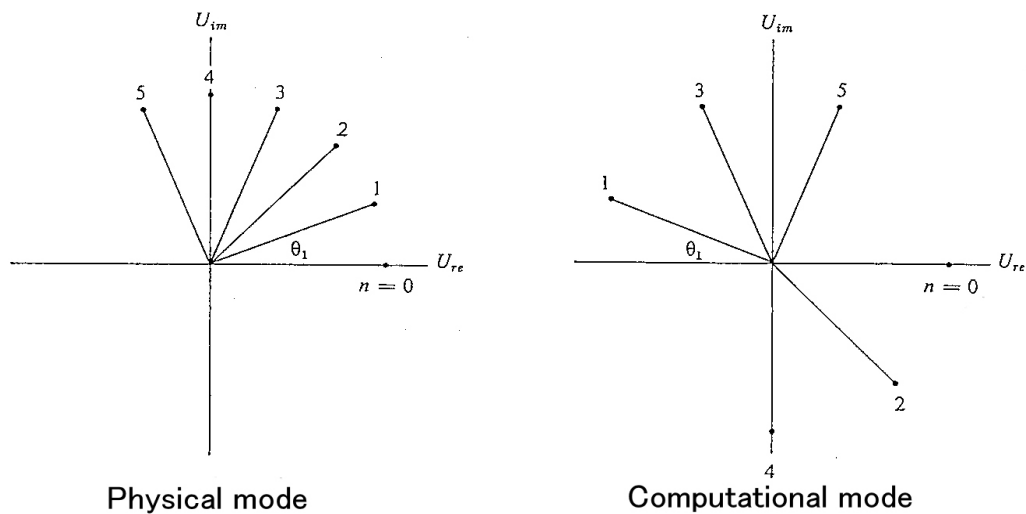


図 2:  $\theta_1 = \frac{\pi}{8}$ , 初期において  $\text{Im}(U_1^0) = 0, \text{Im}(U_2^0) = 0$  としたときのリープフロッグスキームの物理モード (左) と計算モード (右) の位相の変化.  $U_1$  の方は  $n$  が増えると反時計回りに動いていく.  $U_2$  の方は  $+$  と  $-$  が交互に入れ替わってしまう.

**Case2.**  $|p| = 1$  のとき

$$\lambda_1 = \lambda_2 = ip \quad (56)$$

なので,

$$|\lambda_1| = |\lambda_2| = 1. \quad (57)$$

ゆえに, この場合, 物理モードも計算モードもともに安定性は中立である. 位相は Case.1 の場合から  $p \rightarrow \pm 1$  の極限を考える. すると,  $\theta_1$  の位相は,

$$\begin{aligned} \theta &= \arctan \left( \frac{\lambda_i}{\lambda_r} \right), \\ \tan \theta_1 &= \frac{p}{\sqrt{1-p^2}} \rightarrow \infty \quad (p \rightarrow 1). \\ \tan \theta_1 &= \frac{p}{\sqrt{1-p^2}} \rightarrow -\infty \quad (p \rightarrow -1). \end{aligned} \quad (58)$$

同様に  $\theta_2$  の位相は,

$$\begin{aligned} \tan \theta_2 &= -\frac{p}{\sqrt{1-p^2}} \rightarrow -\infty \quad (p \rightarrow 1). \\ \tan \theta_2 &= -\frac{p}{\sqrt{1-p^2}} \rightarrow \infty \quad (p \rightarrow -1). \end{aligned} \quad (59)$$

よって,

$$\theta_1 = \theta_2 = \pm \frac{\pi}{2} \quad (p = \pm 1). \quad (60)$$

このとき解はどちらのモードも,

$$U^n = U^0 e^{\pm in\frac{\pi}{2}} \quad (61)$$

となる.

**Case3.**  $|p| > 1$  のとき

$$\begin{aligned} \lambda_1 &= i(p + \sqrt{p^2 - 1}), \\ \lambda_2 &= i(p - \sqrt{p^2 - 1}). \end{aligned} \quad (62)$$

括弧の中身が実数であることに注意すれば,

$$\begin{aligned} |\lambda_1| &= |p + \sqrt{p^2 - 1}|, \\ |\lambda_2| &= |p - \sqrt{p^2 - 1}| \end{aligned} \quad (63)$$

である。したがって、

$$\begin{aligned} |\lambda_1| &> 1 & (p > 1), \\ |\lambda_2| &> 1 & (p < -1). \end{aligned} \quad (64)$$

ゆえに、 $|p| > 1$  のときの解は不安定になる。 $|p|$  が 1 を越えると、急激に不安定になる。例えば、 $p > 1$  のとき、

$$\frac{d|\lambda_1|}{dp} = 1 + \frac{p}{\sqrt{p^2 - 1}}. \quad (65)$$

よって、 $p \rightarrow 1 + 0$  のとき発散する。位相は Case2 のときと同様にして、

$$\theta_1 = \theta_2 = \pm \frac{\pi}{2}. \quad (66)$$

解は、

$$\begin{aligned} U_1^n &= |p + \sqrt{p^2 - 1}|^n U_1^0 e^{\pm in\frac{\pi}{2}}, \\ U_2^n &= |p - \sqrt{p^2 - 1}|^n U_2^0 e^{\pm in\frac{\pi}{2}}. \end{aligned} \quad (67)$$

位相の進み方は Case2 と同じだが、振幅は時間とともに増加することがわかる。

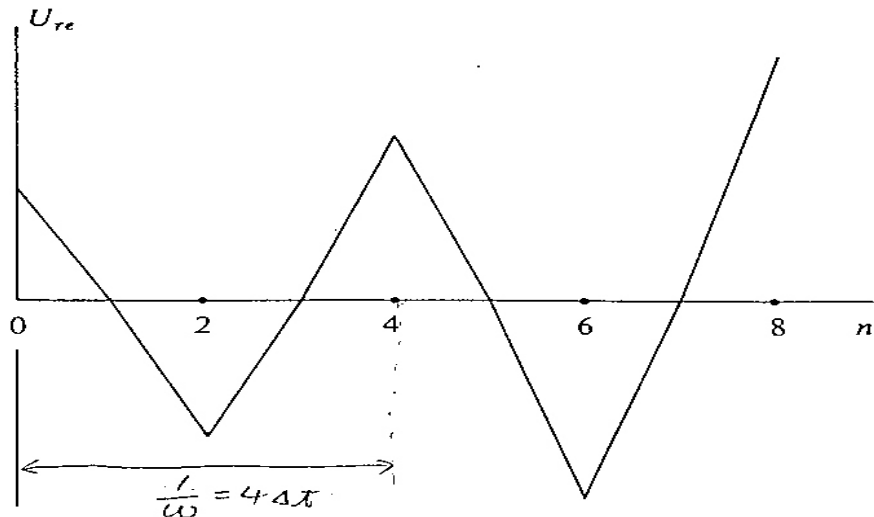


図 3: リープフロッグスキームにおける不安定モードの実部と時間の関係。 $|\lambda| = 1.1$  とし、初期時刻において虚部をゼロとしている。

図 3 より、不安定なモードの周期は  $4\Delta t$  である。

### まとめ

リープフロッグスキームの利点は 2 次精度であることと、 $|\omega\Delta t| \leq 1$  のときに安定であることである。一方、欠点は計算モードの安定性が中立であることと、非線形方

程式の場合に計算モードが増加する場合があることである。なお、計算モードを排除するには、途中で2段階スキームを差し込むとよい。

### アダムス-バッシュフォース (Adams-Bashforth) スキームの安定性と位相

時間差分スキーム(1)のアダムス-バッシュフォーススキームにおいて、 $f = i\omega U$  と置いたとき、

$$\begin{aligned} U^{n+1} &= U^n + \Delta t \left( \frac{3}{2}f^n - \frac{1}{2}f^{n-1} \right) \\ &= U^n + i\omega \Delta t \left( \frac{3}{2}U^n - \frac{1}{2}U^{n-1} \right). \end{aligned} \quad (68)$$

このとき增幅係数  $\lambda$  は、

$$\begin{aligned} U^n &= \lambda U^{n-1}, \\ U^{n+1} &= \lambda U^n = \lambda^2 U^{n-1} \end{aligned} \quad (69)$$

(69) 式を (68) 式に代入して、

$$\lambda^2 - \left( 1 + i\frac{3}{2}p \right) \lambda + i\frac{1}{2}p = 0. \quad (70)$$

但し、 $p \equiv \omega \Delta t$  である。ゆえに、アダムス-バッシュフォーススキームもリープフロッゲスキームと同様に 2 つの  $\lambda$  をもつ。上式を  $\lambda$  について解くと、

$$\begin{aligned} \lambda_1 &= \frac{1}{2} \left[ 1 + i\frac{3}{2}p + \sqrt{1 - \frac{9}{4}p^2 + ip} \right], \\ \lambda_2 &= \frac{1}{2} \left[ 1 + i\frac{3}{2}p - \sqrt{1 - \frac{9}{4}p^2 + ip} \right]. \end{aligned} \quad (71)$$

$p \rightarrow 0$  のとき、 $\text{Re}\lambda_1 \rightarrow 1$ 、 $\text{Re}\lambda_2 \rightarrow 0$  である。したがって、 $\lambda_1$  に対応するモードが物理モード、 $\lambda_2$  に対応するモードが計算モードである。 $p$  が十分小さいとき、計算モードは減衰する。これはアダムス-バッシュフォーススキームの利点である。そこで、 $|p| < 1$  のときの  $\lambda_1$  と  $\lambda_2$  の振る舞いを調べる。(71) 式の根号の部分をテイラー展開し、地道に計算しなければならない。Mesinger & Arakawa (1976) によると、

$$\begin{aligned} \lambda_1 &= 1 + ip - \frac{1}{2}p^2 + i\frac{1}{4}p^3 - \frac{1}{8}p^4 + \dots \\ &= \left( 1 - \frac{1}{2}p^2 - \frac{1}{8}p^4 - \dots \right) + i \left( p + \frac{1}{4}p^3 + \dots \right), \end{aligned} \quad (72)$$

$$\begin{aligned}\lambda_2 &= \frac{1}{2}ip + \frac{1}{2}p^2 - i\frac{1}{4}p^3 + \frac{1}{8}p^4 - \dots \\ &= \left( \frac{1}{2}p^2 + \frac{1}{8}p^4 + \dots \right) + i \left( \frac{1}{2}p - \frac{1}{4}p^3 - \dots \right)\end{aligned}\quad (73)$$

となる. この絶対値を計算すると,

$$\begin{aligned}|\lambda_1| &= \left( 1 + \frac{1}{2}p^4 + \dots \right)^{\frac{1}{2}}, \\ |\lambda_2| &= \left( \frac{1}{4}p^2 + \dots \right)^{\frac{1}{2}}.\end{aligned}\quad (74)$$

この式を再度テイラー展開すると,

$$\begin{aligned}|\lambda_1| &= 1 + \frac{1}{4}p^4 + \dots, \\ |\lambda_2| &= \frac{1}{2}p + \dots\end{aligned}\quad (75)$$

を得る.  $|\lambda_1| > 1$ ,  $|\lambda_2| < 1$  であるから, アダムス-バッシュフォーススキームの物理モードは不安定であり, 計算モードは安定である. しかし, 4段階数のアダムス-バッシュフォーススキームなら物理モードは安定であることも知られている.

## 参考文献

川畠 拓也, 2011, 「時間差分スキーム (1)」

URL:[http://www.ep.sci.hokudai.ac.jp/~gfdlab/comptech/resume/0728/2011\\_0728-takuya.pdf](http://www.ep.sci.hokudai.ac.jp/~gfdlab/comptech/resume/0728/2011_0728-takuya.pdf)

Mesinger, F., and Arakawa, A., 1976, Numerical methods used in atmospheric models, GARP Publications series (World Meteorological Organization), No. 17, Part 1., 64 pp

石岡 圭一, 2004, 「スペクトル法による数値計算入門」, 東京大学出版会, ISBN:4130613057

竹野 茂治, 2009, 「勾配から角度を求める展開式」

URL:<http://takeno.iee.niit.ac.jp/~shige/math/lecture/basic3/data/arctan1.pdf>